

Computational Photography

Photographie Algorithmique

Crédits :

Alexei Efros, James Hays, Frédo Durand, Steve Seitz, Rick Szeliski, Paul Debevec, Stephen Palmer, Paul Heckbert, David Forsyth, Steve Marschner, Shai Avidan

Un peu d'histoire: les débuts



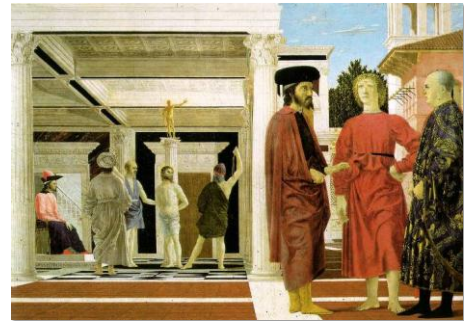
Peintures rupestres, Lascaux ~ 13,000 -- 15,000 B.C.

Le Moyen-Âge



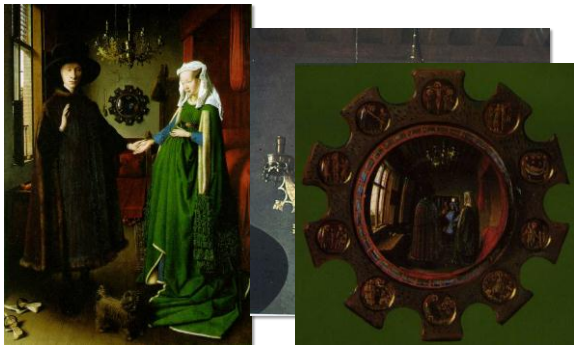
The Empress Theodora with her court.
Ravenna, St. Vitale 6th c.

Renaissance



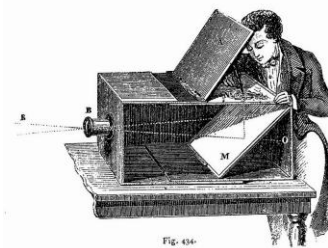
Piero della Francesca, The Flagellation (c.1469)

La quête de la « perfection »



Jan van Eyck, The Arnolfini Marriage (c.1434)

La quête de la « perfection »



Lens Based Camera Obscura, 1568

La « perfection »



Nature morte, **Louis-Jacques-Mandé Daguerre**, 1837

Perfection = réalité ?

Multiple viewpoints



David Hockney,
Place Furstenberg, 1985

Single viewpoint

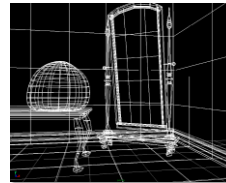


Alyosha Efros
Place Furstenberg, 2009

Arrivée de la synthèse d'image



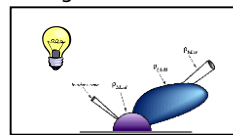
Synthèse d'image



géométrie 3D



projection



physique

Simulation

Synthèse d'image

- Hyper-réalisme
 - Modélisation
 - Éclairage
- Mais pas équivalent à la réalité : pourquoi ?



Couverture de PBRT par Guillermo M. Leaí Isiguro

La richesse du monde réel



Photo de Svetlana Lazebnik

Les êtres humains

Photo de Joaquin Rosales Gomez

*Final Fantasy

dans le métro, Londres

13

Les visages / cheveux

Photo de Joaquin Rosales Gomez

*Final Fantasy

14

Les scènes urbaines

Photo de LA

Virtual LA (SGI)

15

La nature

Photo de Joaquin Rosales Gomez

River Cherwell, Oxford

16

Plus récemment...

Avatar

The Curious Case of Benjamin Button

17

Le meilleur de deux mondes

Informatique graphique

- + facile de créer de nouveaux mondes
- + facile de manipuler les objets / le point de vue
- très difficile d'être réaliste

Computational Photography

⇒ Réaliste Manipulations Capture simple ⇐

Photographie

- + intrinsèquement réaliste
- + acquisition simple
- très difficile de manipuler les objets / le point de vue

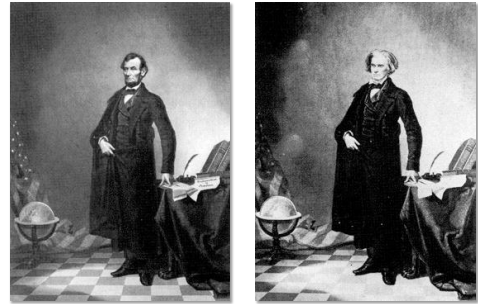
18

Le meilleur de deux mondes

- Essayer de garder le meilleur de deux mondes
 - la capture du réel
 - La facilité d'édition
- A l'intersection de plusieurs disciplines
 - la photographie
 - le traitement d'image
 - la synthèse d'images
 - la vision par ordinateur

19

« Retouche » d'images



1860

d'après **Photo Fakery**, D. Brugioni

20

« Retouche » d'images



1942

d'après **Photo Fakery**, D. Brugioni

21

« Retouche » d'images



1942

d'après **Photo Fakery**, D. Brugioni

22

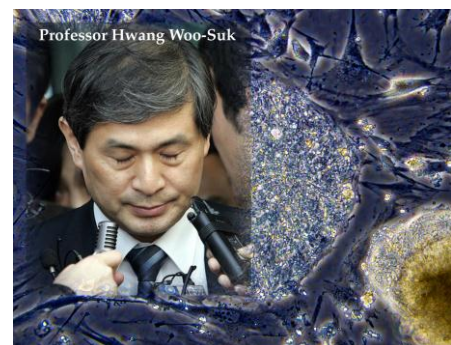
« Retouche » d'images



Dans la presse, juillet 2008

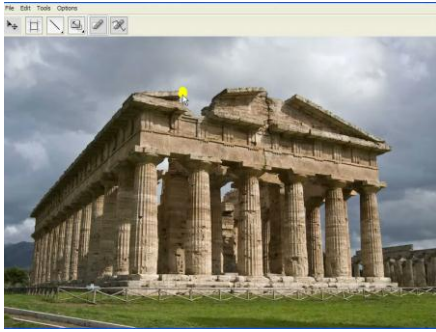
23

« Retouche » d'images



24

PatchMatch [2009]



25

Plan

- › Computational processing
- › Computational illumination
- › Computational optics

26

Plan

- › **Computational processing**
 - Image retargeting
 - Filtering
 - Image Warping & Morphing
 - Compositing & Matting
 - Gradient Editing
- › Computational illumination
- › Computational optics

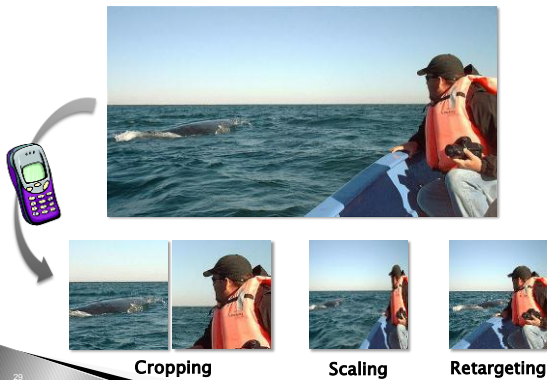
27

Plan

- › **Computational processing**
 - **Image retargeting**
 - Filtering
 - Image Warping & Morphing
 - Compositing & Matting
 - Gradient Editing
- › Computational illumination
- › Computational optics

28

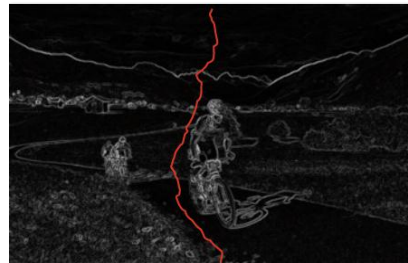
Image retargeting



29

Seam carving

[Avidan et al. 2007]



$$\rightarrow s^* = \arg \min_s E(s)$$

30

Dynamic Programming

High cost
Low cost

Horizontal cost Vertical cost

Energy / Error functions

L_1
Entropy
HoG
Seg. + L_1

Results

Seam Carving Scaling Cropping

Results

Change aspect ratio : enlarge

Objects removal

Limitations

Content

Structure

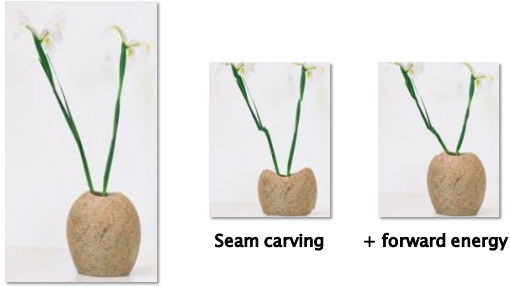
Limitations: why?

ΔE

Seam Removed

Energy inserted into the retargeted image **ignored**

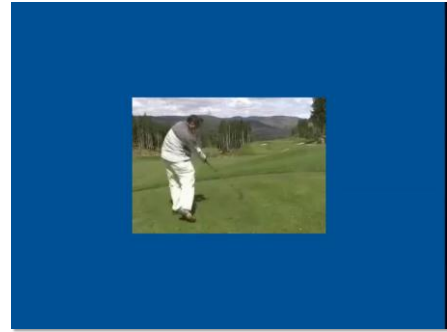
Forward energy



37

“Improved Seam Carving for Video Retargeting”

[Rubinstein et al. 2008]



38

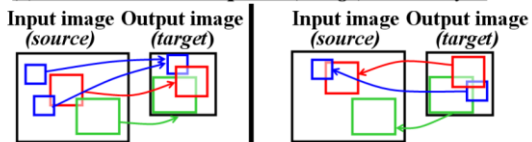
Bidirectional similarity

[Simakov et al. 2008]

Completeness:

Coherence:

(a) The bidirectional spatial (image) similarity:



39

Plan

- Computational processing
 - Image retargeting
 - **Filtering**
 - Image Warping & Morphing
 - Compositing & Matting
 - Gradient Editing
- Computational illumination
- Computational optics

40

Filtrage

- Filtrage linéaire : convolution
- Filtrage non-linéaire : filtre bilatéral
- Opérateurs morphologiques

41

Convolution

image filtrée noyau image d'entrée

$$J = f * I$$

- Applications :
 - Rendre flou (blur)
 - Rendre plus net (sharpen)
 - Débruiter (denoising)
 - ...

42

Filtre gaussien

gaussienne marche + bruit

$$J = f * I$$

43

Filtre gaussien : somme pondérée

$$J(x) = \sum_{\xi} f(x, \xi) I(\xi)$$

44

Filtre gaussien

Image bruitée Codage couleur

Filtre gaussien ($\sigma=4$) Filtre gaussien ($\sigma=12$)

45

Filtre bilatéral

Tomasi and Manduchi 1998

▸ Pénalité **g** en fonction des différences d'intensité

$$J(x) = \frac{1}{k(x)} \sum_{\xi} f(x, \xi) g(I(\xi) - I(x)) I(\xi)$$

46

Filtre bilatéral

$$J(x) = \frac{1}{k(x)} \sum_{\xi} \underbrace{f(x, \xi)}_{\text{kernel}} \underbrace{g(I(\xi) - I(x))}_{\text{intensity difference}} I(\xi)$$

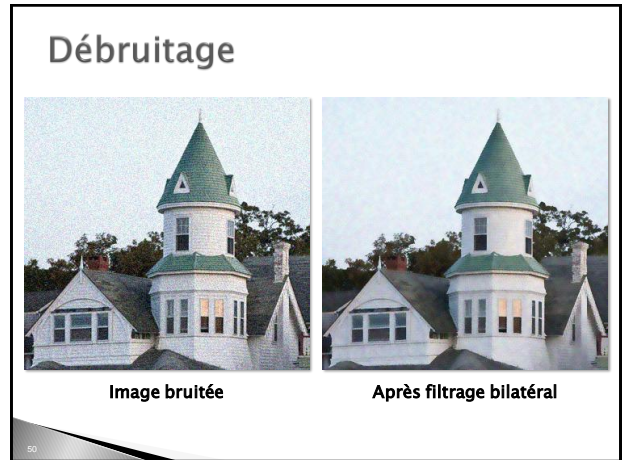
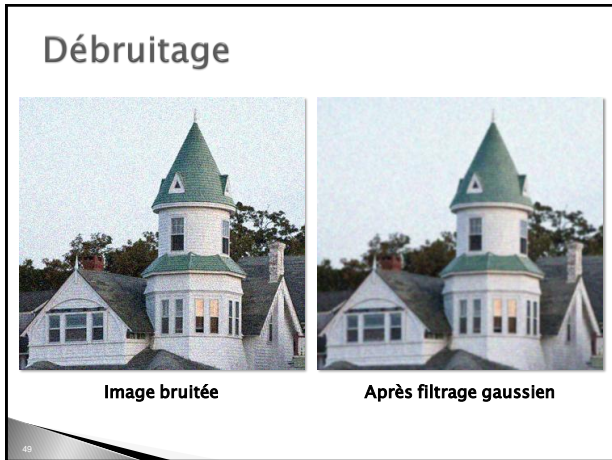
47

Filtre gaussien

Filtre gaussien ($\sigma=4$) Filtre gaussien ($\sigma=12$)

Filtre bilatéral ($\sigma=4$) Filtre bilatéral ($\sigma=12$)

48



Filtre non-linéaire

$$J(x) = \frac{1}{k(x)} \sum_{\xi} \underbrace{f(x, \xi)}_{\text{spatial kernel}} \underbrace{g(I(\xi) - I(x))}_{\text{intensity kernel}} I(\xi)$$

51

Limitation

- Calcul « brute-force » (très) **lent**
⇒ bilateral grid [Chen et al. 2007]
- Préservation **partielle** des contours

52

“Real-time Edge-Aware Image Processing with the Bilateral Grid”

- Bilateral grid = 3D array
 - x and y correspond to pixel position
 - z corresponds to pixel intensity
 - Euclidean distance accounts for edges
 - space distance (x,y) and intensity distance (z)
- Grid can be coarse
 - E.g., 70 x 70 x 10 for an 8 megapixel image

53

Bilateral Filter on the Bilateral Grid

54

Performance

Image size: 2 MPixels

- ▶ CPU
 - Brute force: **10 minutes**
 - State of the art '06: **1 second** [Weiss 06, Paris 06]
- ▶ Bilateral Grid with GPU
 - 2006 card (G80): **9 ms** (111 Hz)

Applications

- ▶ Égalisation locale d'histogrammes
- ▶ Tone mapping
- ▶ Abstraction de vidéos
- ▶ Transfert de style

[Durand 02]



“Real-time video abstraction”



[Willmüller et al. 2002]

“Two-scale Tone Management for Photographic Look”

[Bae et al. 2006]



Ansel Adams, *Clearing Winter Storm*

“Two-scale Tone Management for Photographic Look”



Photographie amateur

“Two-scale Tone Management for Photographic Look”



Apparence transférée

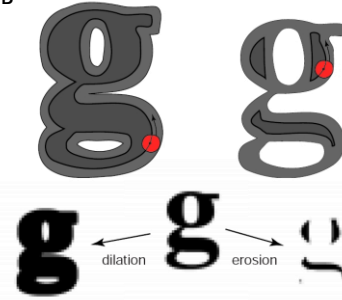
Opérateurs morphologiques

- Masques binaires de l'image
- Théorie des ensembles / logique binaire
- **Morpho-mathématiques** [Haralick87]

61

Dilatation / érosion

- Opérations de base sur l'image A selon le noyau B



62

Dilatation

Historically, certain computer programs were written using only two digits rather than four to define the applicable year. Accordingly, the company's software may recognize a date using "00" as 1900 rather than the year 2000.

Historically, certain computer programs were written using only two digits rather than four to define the applicable year. Accordingly, the company's software may recognize a date using "00" as 1900 rather than the year 2000.



« élément de structure » ↔ noyau :

0	1	0
1	1	1
0	1	0

63

Érosion



Image d'origine

Image érodée 1x

Image érodée 2x

64

Ouverture et fermeture

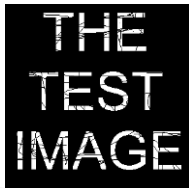
Ouverture :
2 érosions puis
2 dilatations.

⇒ Suppression
du bruit



Fermeture:
dilatation
puis érosion.

⇒ Remplissage
des trous.



65

Application au NPR

- "Video Watercolorization using Bidirectional Texture Advection" Bousseau et al. 2007



Ouverture

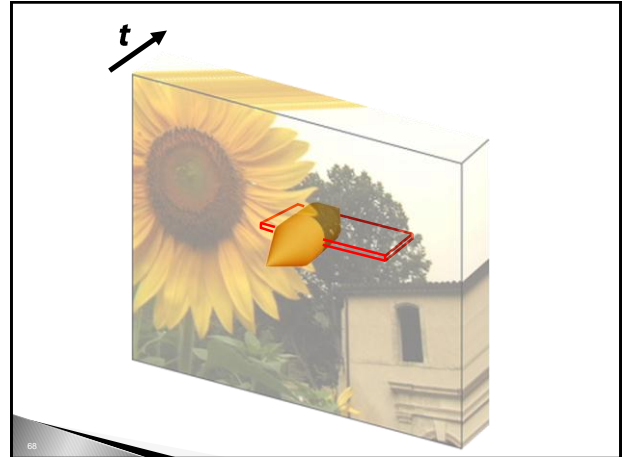
66

“Video Watercolorization using Bidirectional Texture Advection”

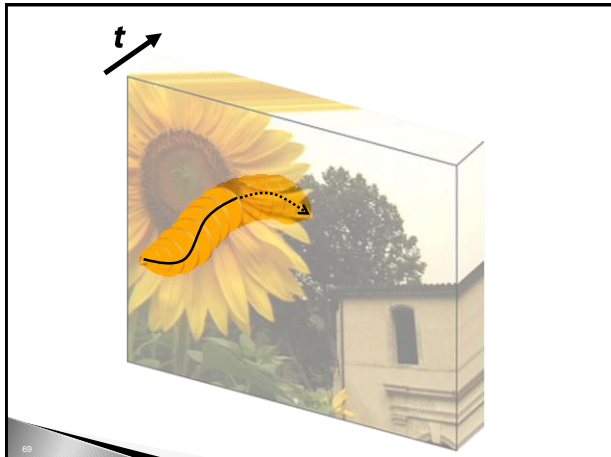


Filtrage spatial

67



68



69

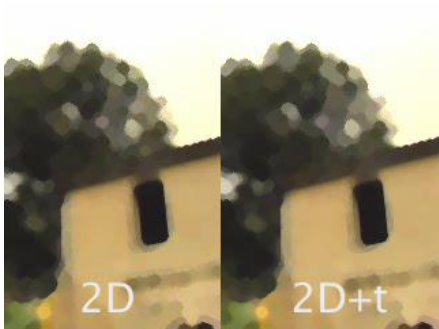
“Video Watercolorization using Bidirectional Texture Advection”



Filtrage spatio-temporel

70

“Video Watercolorization using Bidirectional Texture Advection”



Comparaison

71

“Video Watercolorization using Bidirectional Texture Advection”



Vidéo d'origine

72

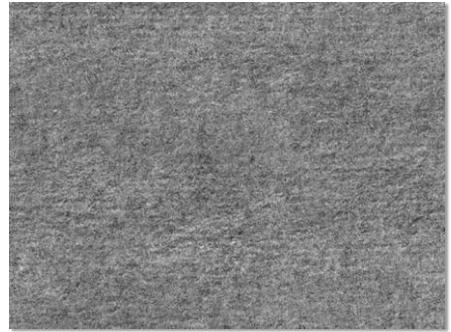
“Video Watercolorization using Bidirectional Texture Advection”



Filtrage spatio-temporel

73

“Video Watercolorization using Bidirectional Texture Advection”



Advection de texture

74

“Video Watercolorization using Bidirectional Texture Advection”



Stylisation aquarelle

75

Plan

- **Computational processing**
 - Image retargeting
 - Filtering
 - **Image Warping & Morphing**
 - Compositing & Matting
 - Gradient Editing
- Computational illumination
- Computational optics

76

Image Warping & Morphing

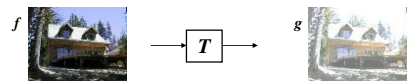


http://youtube.com/watch?v=nUDIoN-_Hxs

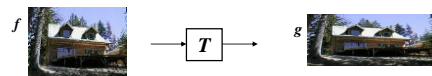
77

Image Warping

- **Filtrage** : modifie la plage de valeur
 $g(x) = T(f(x))$

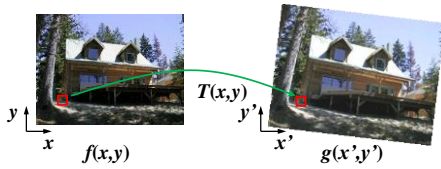


- **Warping** : modifie le domaine de l'image
 $g(x) = f(T(x))$



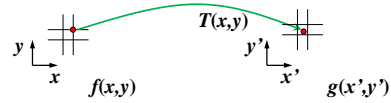
78

Image Warping



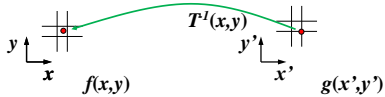
Connaissant la transformation $(x', y') = T(x, y)$ et l'image source $f(x, y)$, comment calculer l'image transformée $g(x', y') = f(T(x, y))$?

Forward warping



- Envoyer chaque pixel $f(x, y)$ à la position $(x', y') = T(x, y)$ dans la deuxième image
- Distribuer la couleur sur les pixels voisins (splating)

Inverse warping



- Chercher la position de chaque pixel $g(x', y')$ dans l'image d'origine : $(x, y) = T^{-1}(x', y')$
- Interpoler entre les différentes couleurs (plus proche voisin, bilinéaire...)

Forward vs. Inverse

- Quelle est la meilleure méthode ?



Forward vs. Inverse

- Quelle est la meilleure méthode ?
- Généralement le **warping inverse**
 - évite les trous
 - mais la fonction doit être inversible (ce qui n'est pas toujours le cas)

Morphing



- « Moyenne » entre deux images
 - Pas la moyenne de l'image des objets...
 - ...mais une image de la moyenne des objets
 - et une moyenne évoluant au cours du temps.
- Comment savoir ce qu'est la bonne moyenne ?
 - On n'en sait rien !
 - Mais les artistes peuvent nous aider

Fondu : « Cross-dissolve »



- › Interpolation de l'image complète
 - $I_t = (1-t) * I_1 + t * I_2$
- › Mais que se passe-t-il si les images ne sont pas alignées ?

85

Alignement puis fondu



- › Aligner d'abord (wrap global), puis faire un fondu

86

Et pour le chien ?

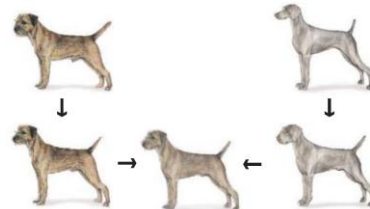


- › Fondu ne marche pas
- › Alignement global ne marche pas



87

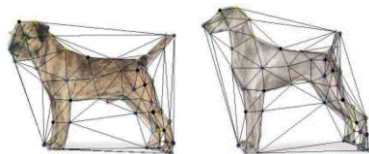
Warping local, puis fondu



Comment spécifier la transformation ?

88

Solution 1 : Maillage



- › Définir des points de correspondance
- › En déduire une triangulation (Delaunay)
- › Et la déformation de chaque triangle (transformation affine = texture mapping)

89

Solution 2 : autres coordonnées

- › “Mean Value Coordinates” [Floater03]
- › “Harmonic Coordinates” [DM07]
- › “Green Coordinates” [LLC08]
- › “Complex Barycentric Coordinates” [OBG09]

90

Solution 2 : autres coordonnées

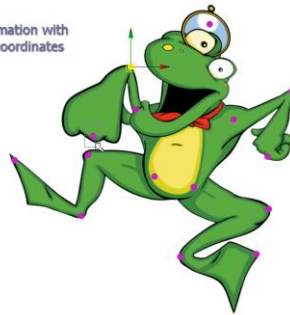
Szego
Legs stay put



91

Solution 2 : autres coordonnées

Deformation with
P2P coordinates



92

Plan

- **Computational processing**
 - Image retargeting
 - Filtering
 - Image Warping & Morphing
 - **Compositing & Matting**
 - Gradient Editing
- Computational illumination
- Computational optics

93

Comment volent les super-héros ?



Superpouvoirs ?
ou
Image matting ?



94

Image matting - Compositing

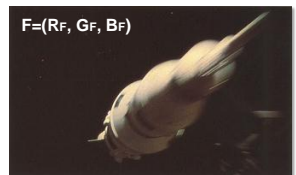


Cinefex

95

Compositing

Digital Domain



- Alpha-mask
- $\alpha \in [0;1]$
- $C=\alpha F+(1-\alpha)B$



96

Alpha binaire

Digital Domain



97

Alpha continue

Digital Domain



98

L'écran bleu



99

L'écran bleu



- Matting le plus courant à la TV et au cinéma
- Inventé par **Petros Vlahos** dans les années 50 (Technical Academy Award, 1995)
- Limitation : pas de bleu dans le premier plan
- Heuristique : $\alpha = 1 - p_1(b - p_2 g)$
 - $b < p_2 g$, avec a_2 entre 0.5 et 1.5
 - p_1 et p_2 définis par l'utilisateur

100

Natural matting : ambiguïté

- **7 inconnues** :
 - α
 - $F = (R_F, G_F, B_F)$
 - $B = (R_B, G_B, B_B)$
- **3 équations** : une par canal de couleur

101

Natural matting

[Ruzon & Tomasi 2000, Chuang et al. 2001]

- Image à l'arrière plan quelconque
- **Trimap** grossière fournie par l'utilisateur
 - B connu en noir,
 - F connu en blanc
 - Inconnu en gris
- **Objectif** : estimer F, B, α dans la zone inconnue



Image d'entrée



Trimap

102

Bayesian matting

$$P(x|y) = P(y|x) P(x) / P(y)$$

le paramètre à estimer ↑ fonction de vraisemblance ↑ constante vis-à-vis de x
 ce qu'on observe ↑ probabilité a priori

103

Bayesian matting

- › Ce qu'on observe : la couleur C

$$P(x|y) = P(y|x) P(x) / P(y)$$

le paramètre à estimer ↑ fonction de vraisemblance ↑ constante vis-à-vis de x
 ce qu'on observe ↑ probabilité a priori

104

Bayesian matting

- › Ce qu'on observe : la couleur C
- › Ce qu'on veut estimer : F, B, α

$$P(x|C) = P(C|x) P(x) / P(C)$$

le paramètre à estimer ↑ fonction de vraisemblance ↑ constante vis-à-vis de x
 ce qu'on observe ↑ probabilité a priori

105

Bayesian matting

- › Ce qu'on observe : la couleur C
- › Ce qu'on veut estimer : F, B, α
- › **Fonction de vraisemblance**
 - Connaissant F, B, α , probabilité d'observer C
 - Mesures parfaites $\Rightarrow C = \alpha F + (1 - \alpha) B$
 - En pratique, hypothèse de bruit Gaussien de variance σ_C (+lissage de la probabilité)

$$P(F, B, \alpha | C) = P(C | F, B, \alpha) P(F, B, \alpha) / P(C)$$

le paramètre à estimer ↑ fonction de vraisemblance ↑ constante vis-à-vis de x
 ce qu'on observe ↑ probabilité a priori

106

Bayesian matting

- › Ce qu'on observe : la couleur C
- › Ce qu'on veut estimer : F, B, α
- › Fonction de vraisemblance
- › **Probabilité a priori**
 - Construire une distribution de probabilité d'après les régions connues de la **trimap**
 - Cœur du « Bayesian matting »

$$P(F, B, \alpha | C) = P(C | F, B, \alpha) P(F, B, \alpha) / P(C)$$

le paramètre à estimer ↑ fonction de vraisemblance ↑ constante vis-à-vis de x
 ce qu'on observe ↑ probabilité a priori

107

Bayesian matting

- › Hypothèse : F, B, α **indépendants**

$$P(F, B, \alpha | C) = P(C | F, B, \alpha) P(F, B, \alpha) / P(C)$$

$$= P(C | F, B, \alpha) P(F) P(B) P(\alpha) / P(C)$$
- › Passage au **log** (supprimer les multiplications)

$$L(F, B, \alpha | C) = L(C | F, B, \alpha) + L(F) + L(B) + L(\alpha) - L(C)$$
- › Ignorer la constante L(C)
- › Maximiser itérativement :

$$L(C | F, B, \alpha) + L(F) + L(B) + L(\alpha)$$

108

Bayesian matting

Chuang et al. 2001

Bayesian approach

Ground truth

Alpha Matte Composite Inset

110

Bayesian matting

Chuang et al. 2001

Alpha Matte Composite Inset

111

Environment matting

- ▶ Effets optiques plus complexes
- ▶ Chaque pixel peut dépendre de **plusieurs pixels** de l'arrière plan

[Chuang, Zongker, Hindorff, Curless, Salesin and Szeliski 1999-2000]

112

Environment Matting Equation

$$C = F + (1 - \alpha)B + \Phi$$

- ▶ α ~ amount of light that passes through the foreground
- ▶ Φ ~ contribution of light from Environment that travels through the object

113

Explanation of Φ

$$\Phi = \sum_{i=1}^m \int R_i(x) T_i(x) dx$$

R – reflectance image
T – Texture image

114

Environment matting

Alpha Matte Environment Matte Photographie

115

Plan

- ▶ **Computational processing**
 - Image retargeting
 - Filtering
 - Image Warping & Morphing
 - Compositing & Matting
 - **Gradient Editing**
- ▶ Computational illumination
- ▶ Computational optics

Gradient Domain Blending

sources/destination gradient visualization seamless cloning

[Perez et al. 2003]

Gradient Domain Blending

- ▶ **Copier le gradient** de l'image source (sélection Ω) dans l'image destination S
- ▶ Rendre le nouveau gradient **aussi proche que possible** du gradient source en tenant compte des **valeurs au bord** $\partial\Omega$

Gradient Domain Blending

- ▶ Connaissant le gradient source (champ de vecteur \mathbf{v}), trouver \mathbf{f} dans la zone \mathbf{g} qui minimise :

$$\min_f \iint_{\Omega} |\nabla f - \mathbf{v}|^2 \text{ avec } f|_{\partial\Omega} = f^*|_{\partial\Omega}$$

⇒ **équation de Poisson avec conditions au bord de Dirichlet**

Gradient Domain Blending

- ▶ Si \mathbf{v} est nul
- ▶ Equation de Laplace (membrane)
- ▶ En 1D = interpolation linéaire
- ▶ En 2D :

Gradient Domain Blending

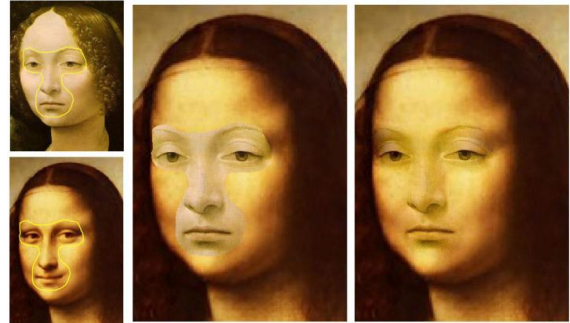
- ▶ Si \mathbf{v} n'est pas nul et conservatif (gradient de g)
- ▶ Fonction de correction \hat{f} telle que $f = g + \hat{f}$
- ▶ \hat{f} interpolant membrane de $(f^* - g)$ sur Ω

Gradient Domain Blending

- Minimisation au sens des moindres carrés
- Discrétisation \Rightarrow gros système d'équations linéaire creux à résoudre
 - Région de 100×100 pixels
 - 10 000 inconnues
 - matrice $10\,000 \times 10\,000$!!!
- Iterative solvers, FFT, deconvolution, multigrid solvers...

122

Gradient Domain Blending



sources / destination

cloning

seamless cloning

123

Local color changes



124

Limitations

- Pas d'inversion du contraste (gris sur noir \Rightarrow gris sur blanc)
- "Bleeding"
- Alignement quasi parfait des images

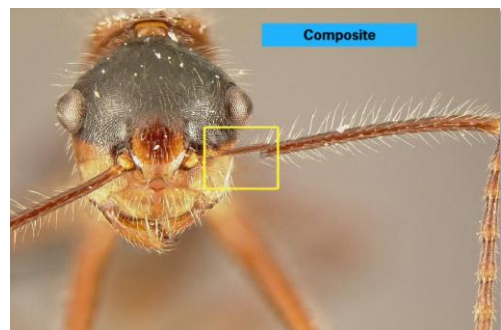
125

Applications

- Montage photo [Agrawala et al. 2002]
 - compositing, depth of field, panorama...

126

"Interactive Digital Photomontage"



[Agrawala et al. 2004]

127

Applications

- Montage photo [Agrawala et al. 2002]
 - compositing, depth of field, panorama...
- Tone-mapping [Fattal et al. 2002]
- Abstraction + stylisation [Orzan et al. 2007]



129

Applications

- Montage photo [Agrawala et al. 2002]
 - compositing, depth of field, panorama...
- Tone-mapping [Fattal et al. 2002]
- Abstraction + stylisation [Orzan et al. 2007]
- Painting [McCann et al. 2008]
- Drawing [Orzan et al. 2008]



[Orzan et al. 2008]



[McCann et al. 2008]

129

Plan

- Computational processing
- Computational illumination
 - **Light fields & Lumigraphs**
- Computational optics

130

The Plenoptic Function [Adelson & Bergen 91]



Credit: Leonard McMillan

- Comment **décrire (et capturer) toutes les images possibles** autour de nous ?
- Essayons de trouver une paramétrisation pour une personne statique

131

Grayscale snapshot



$$P(\theta, \phi)$$

is intensity of light

- seen from a single view point
 - at a single time
 - averaged over the wavelengths of the visible spectrum
- (can also do $P(x, y)$, but spherical coordinate are nicer)

132

Color snapshot



$$P(\theta, \phi, \lambda)$$

is intensity of light

- seen from a single view point
- at a single time
- **as a function of wavelength**

133

A movie



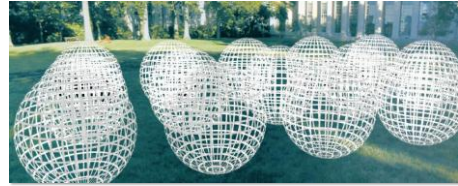
$$P(\theta, \phi, \lambda, t)$$

is intensity of light

- seen from a single view point
- **over time**
- as a function of wavelength

134

Holographic movie



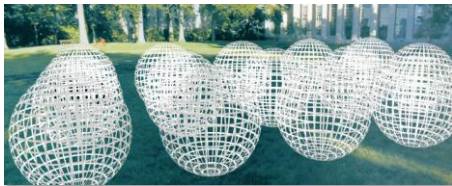
$$P(\theta, \phi, \lambda, t, V_x, V_y, V_z)$$

is intensity of light

- seen from **ANY** viewpoint
- over time
- as a function of wavelength

135

The Plenoptic Function



$$P(\theta, \phi, \lambda, t, V_x, V_y, V_z)$$

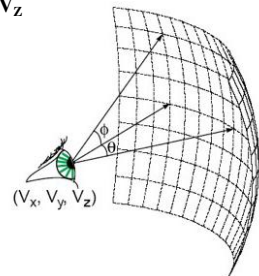
- ▶ Can reconstruct **every possible view**, at **every moment**, from **every position**, at **every wavelength**
- ▶ Contains every photograph, every movie, everything that anyone has ever seen! **It completely captures our visual reality!** Not bad for a function...

136

The Plenoptic Function

7D

- 3D for viewpoint: V_x, V_y, V_z
- 2D for ray direction: θ, ϕ
- 1D for wavelength: λ
- 1D for time: t



McMillan 95

137

Lumigraph / Light fields

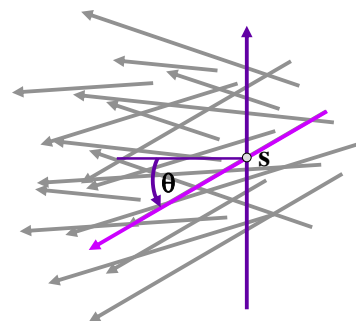
- ▶ Extérieur = enveloppe convexe de la scène
- ▶ Pour chaque rayon dans cet espace, capturer et stocker la radiance (couleur RGB)
- ▶ **Rendu = lookup**
- ▶ 2 publications en 1996
 - "Light field rendering" [Levoy & Hanrahan]
 - "The Lumigraph" [Gortler et al.]

138

Lumigraph - Organization

2D position: S

2D direction: θ



139

Slide by Rick Szeliski and Michael Cohen

Lumigraph - Organization

2D position: \mathbf{s}
2D position: \mathbf{u}

Slide by Rick Szeliski and Michael Cohen

Lumigraph - Organization

2D position: \mathbf{s}, \mathbf{t}
2D position: \mathbf{u}, \mathbf{v}
2 plane parameterization

Slide by Rick Szeliski and Michael Cohen

Lumigraph - Organization

Hold \mathbf{s}, \mathbf{t} constant
Let \mathbf{u}, \mathbf{v} vary
⇒ an image

Slide by Rick Szeliski and Michael Cohen

Lumigraph / Light field

Slide by Rick Szeliski and Michael Cohen

Lumigraph - Capture

► Idea 1
▪ Move camera carefully over \mathbf{s}, \mathbf{t} plane

Slide by Rick Szeliski and Michael Cohen

Lumigraph - Capture

► Idea 2
▪ Move camera anywhere
▪ Rebinning (calibration & pose estimation)

Slide by Rick Szeliski and Michael Cohen

Stanford multi-camera array

- ▶ 640×480 pixels
× 30 fps × 128 cameras
- ▶ Synchronized timing
- ▶ Continuous streaming
- ▶ Flexible arrangement



<http://graphics.stanford.edu/papers/CameraArray/>

146

Time splice

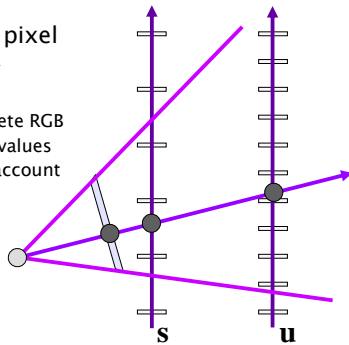
<http://www.timesplice.com.au/index.html>



147

Lumigraph – Rendering

- ▶ For each output pixel
 - determine s, t, u, v
 - either
 - use closest discrete RGB
 - interpolate near values
 - take a lens into account



148

Slide by Rick Szeliski and Michael Cohen

Démo lightfield viewer

<http://lightfield.stanford.edu/lfs.html>



149

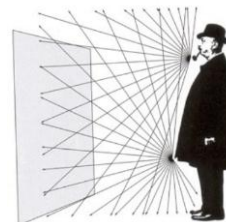
Plan

- ▶ Computational processing
- ▶ Computational illumination
- ▶ **Computational optics**
 - Digital Refocusing
 - Coded Aperture

150

Image capture

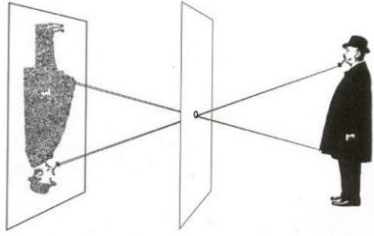
- ▶ Un capteur seul ne capture pas une image



151

Image capture

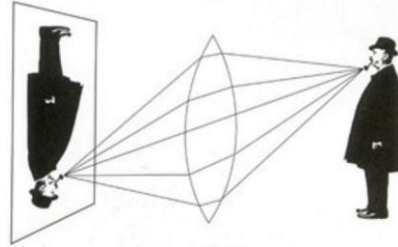
- Un sténopé (*pinhole*) permet de sélectionner certains rayons



152

Image formation: optics

- Les optiques sélectionnent et intègrent les rayons lumineux \Rightarrow **forment** une image



153

Image formation: computation

- La combinaison optiques & algorithmes forme une image

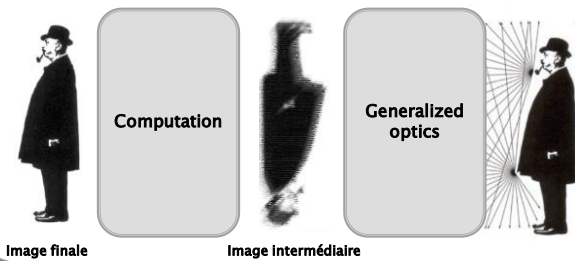


Image finale

Image Intermédiaire

154

Computational imaging goals

- Meilleur capture de l'information
- Former un image en post-process

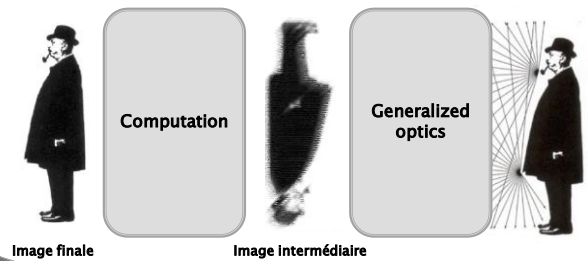


Image finale

Image Intermédiaire

155

Better capture information

- Les optiques encodent, l'algorithme décode
- L'encodage vise à minimiser les distorsions

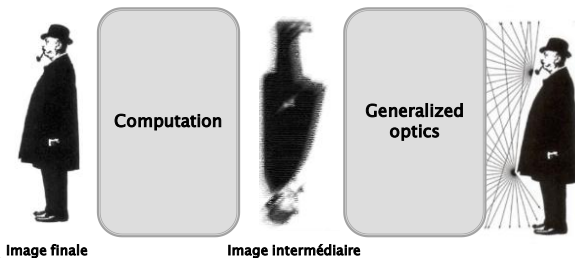


Image finale

Image Intermédiaire

156

Form images as a post-process

- Peut être exécuté plus tard
- Répété plusieurs fois avec \neq paramètres

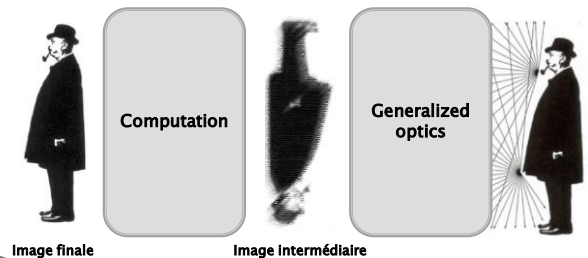


Image finale

Image Intermédiaire

157

Plan

- Computational processing
- Computational illumination
- Computational optics
 - Digital Refocusing
 - Coded Aperture

158

Digital refocusing



[Ng et al. 2005]

159

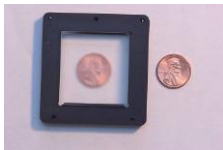
Prototype camera



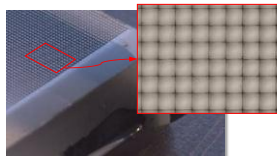
Contax medium format camera



Kodak 16-megapixel sensor



Adaptive Optics microlens array



125μ square-sided microlenses

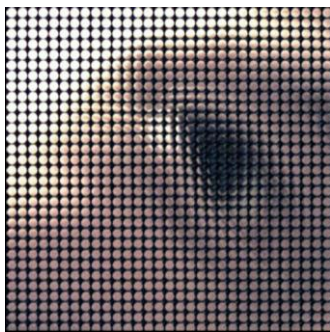
160

Light Field in a Single Exposure



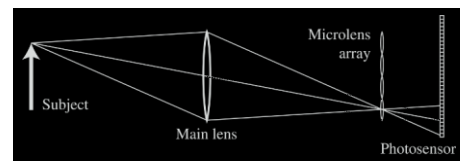
161

Light Field in a Single Exposure



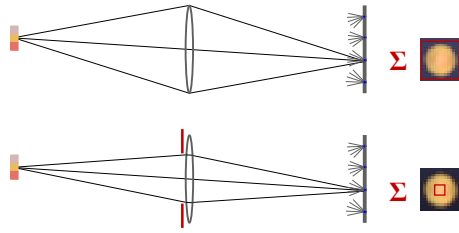
162

Light field camera



163

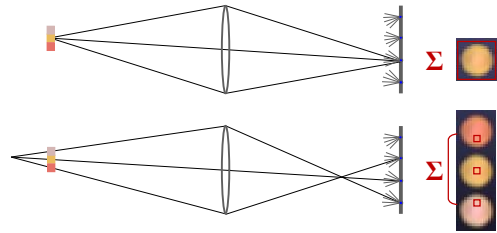
Digitally stopping-down



stopping down = summing only the central portion of each microlens

164

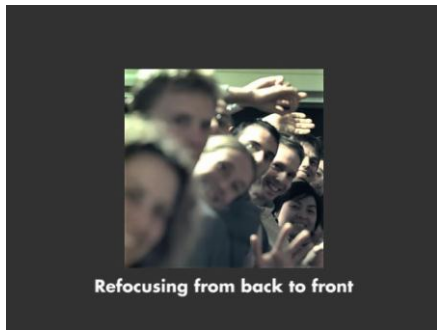
Digital refocusing



refocusing = summing windows extracted from several microlenses

165

Résultats



166

Plan

- › Computational processing
- › Computational illumination
- › **Computational optics**
 - Digital Refocusing
 - **Coded Aperture**

167

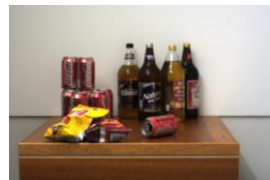
“Image and Depth from a Conventional Camera with a Coded Aperture”

[Levin et al. 2007]



168

Single input image



Output 1: Depth map



169

Single input image

Output 1: Depth map

Output 2: All-focused image

Lens and defocus

Lens' aperture → Image of a defocused point light source

Object → Focal plane → Lens → Camera sensor → Point spread function

Depth and defocus

Out of focus

In focus

Depth from defocus:
Infer depth by analyzing local scale of defocus blur

Defocus as local convolution

Input defocused image

Calibrated blur kernels at different depths

Defocus as local convolution

Input defocused image

$$y = f \otimes x$$

Local sub-window Calibrated blur kernels at depth k Sharp sub-window

Depth $k=1$: = \otimes

Depth $k=2$: = \otimes

Depth $k=3$: = \otimes

Deconvolution is ill posed

$$f \otimes x = y$$

Solution 1:

Solution 2:

Idea 1: Natural images prior

What makes images special?

	Natural	Unnatural	
Image			
Gradient			

Natural images have sparse gradients
 put a penalty on gradients

Idea 2: Coded Aperture

- Mask (code) in aperture plane
 - make defocus patterns different from natural images and easier to discriminate

Conventional aperture

→

Our coded aperture

Build your own coded aperture

Solution: lens with occluder

Solution: lens with occluder

Aperture pattern

→

Image of a defocused point light source



Solution: lens with occluder

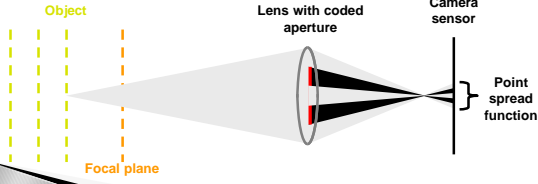
Aperture pattern

→

Image of a defocused point light source

Solution: lens with occluder

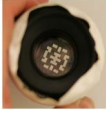

Aperture pattern  →  Image of a defocused point light source

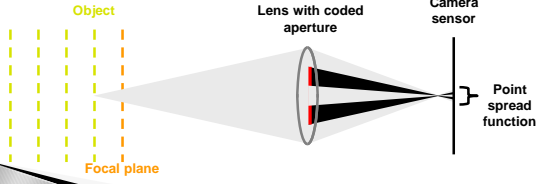


Object Focal plane Lens with coded aperture Camera sensor Point spread function

182

Solution: lens with occluder


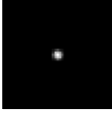
Aperture pattern  →  Image of a defocused point light source

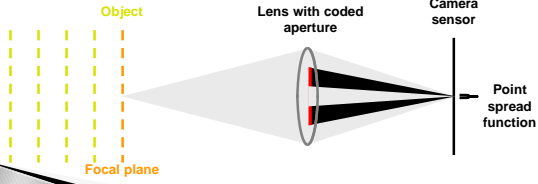


Object Focal plane Lens with coded aperture Camera sensor Point spread function

183

Solution: lens with occluder

Aperture pattern  →  Image of a defocused point light source



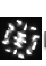
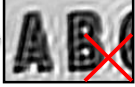










Object Focal plane Lens with coded aperture Camera sensor Point spread function

184

Why coded?

Coded aperture reduces uncertainty in scale identification





Larger scale				
Correct scale				
Smaller scale				

185


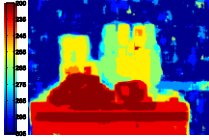

Regularizing depth estimation

Try deblurring with 10 different aperture scales

$$x = \arg \min \underbrace{\|f \otimes x - y\|^2}_{\text{Convolution error}} + \lambda \underbrace{\sum_i \rho(\nabla x_i)}_{\text{Derivatives prior}}$$

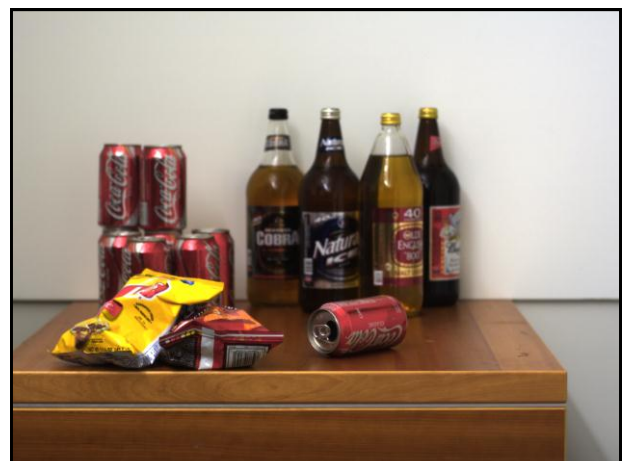
 ⊗  -  + 

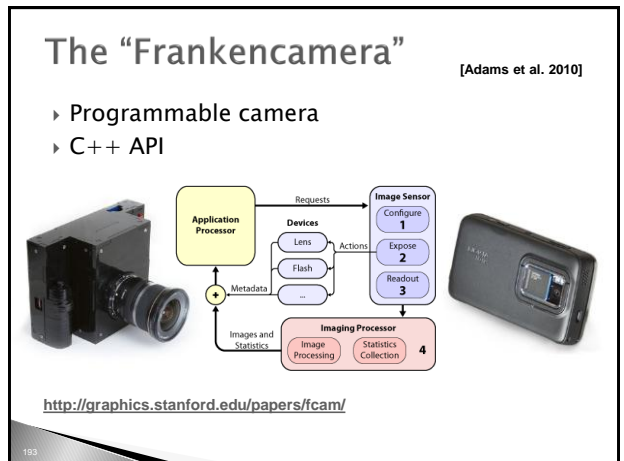
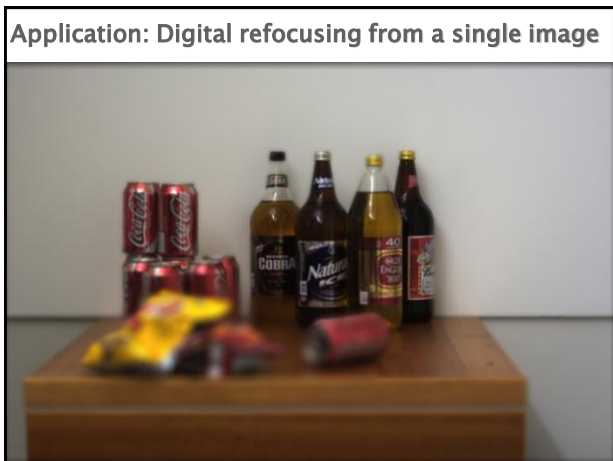
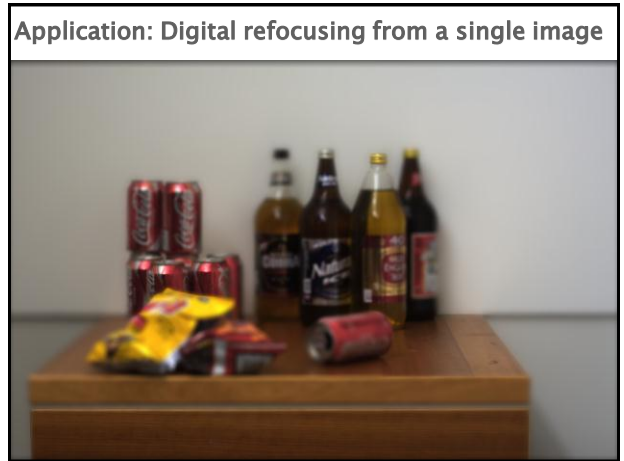
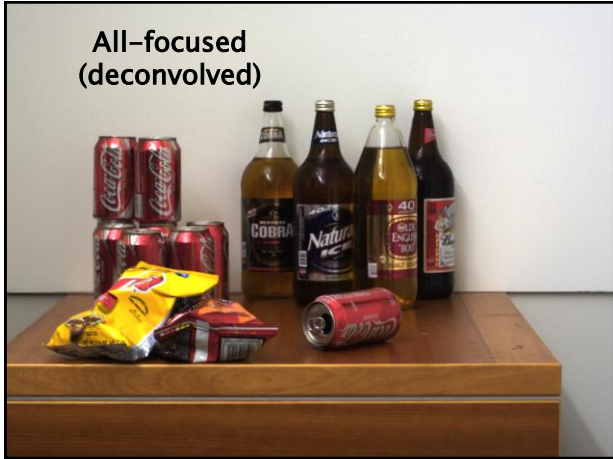
Keep minimal error scale in each local window + regularization

Input Local depth estimation Regularized depth

186





The “Frankencamera”

[Adams et al. 2010]

Camera Functionality
and Enhancements

194

Conclusion



- ▶ Domaine très actif
- ▶ Pluridisciplinaire
- ▶ Interactions fortes avec l'industrie
(Adobe, Microsoft, Disney, Mitsubishi, Google...)

195